

文章编号: 1001-3806(2008)05-047-03

脉冲形状对 3 次谐波转换的影响分析

韩伟, 钟伟, 李富全, 向勇, 王礼全, 李恪宇, 贾怀庭, 冯斌
(中国工程物理研究院 激光聚变研究中心, 绵阳 621900)

摘要: 为了使谐波转换系统保持高效稳定的 3 次谐波转换, 采用数值模拟的方法, 研究了基频光脉冲波形对 3 倍频转换效率的影响, 并对高斯脉冲和平顶脉冲的不同谐波转换特点作了详细分析。当基频光为高斯脉冲时, 在 $3\text{GW}/\text{cm}^2$ 的输入条件下最佳的 2 倍频转换效率为 56%, 低于理论预计的 66%。进一步计算了不同功率密度下, 最佳 2 倍频转换效率与超高速脉冲阶数的关系。当考虑空间走离效应, 基频光时间和空间均为平顶分布时, 最佳的 2 倍频转换效率为 62%; 若基频光时间为平顶分布、空间分布为高斯分布时, 最佳 2 倍频转换效率为 51%, 进一步地偏离 66%。结果表明, 当基频光脉冲形状偏离理想的平顶分布时, 适当地降低 2 倍频转换效率, 可提高 3 倍频转换效率。

关键词: 非线性光学; 3 次谐波转换; 高斯脉冲; 转换效率

中图分类号: TN248.1; O437

文献标识码: A

Influence of fundamental pulse shape on third-harmonic generation

HAN Wei ZHONG Wei LI Fu-quan, X IANG Yong, WANG Li-quan, LI Ke-yu, JIA Hua-ting, FENG Bin
(Research Center of Laser Fusion, China Academy of Engineering Physics, Mianyang 621900, China)

Abstract In order to achieve stable and high conversion efficiency, the influence of fundamental pulse shape on third-harmonic generation was analyzed and different physical insights of third-harmonic conversion with flat-top pulse and Gaussian pulse were studied respectively. In the case of Gaussian fundamental pulse and $3\text{GW}/\text{cm}^2$ input intensity, the calculated optimal second-harmonic conversion efficiency was 56%, lower than 66% predicted in theory. Furthermore, the dependence of optimal second-harmonic conversion efficiency on fundamental pulse shape was calculated under different input intensity. The spatial walk-off effect will influence the optimal second-harmonic conversion efficiency lowering it to 62% in the case of fundamental pulse with flat-top spatial and temporal distribution. The optimal second-harmonic conversion efficiency will decrease to 51% when the spatial distribution of fundamental pulse is Gaussian. It is discovered that when the fundamental pulse is not ideal flat-top pulse shape, the third-harmonic conversion efficiency can be improved by lowering the second-harmonic conversion efficiency properly.

Key words nonlinear optics; third-harmonic conversion; Gaussian pulse; conversion efficiency

引言

在国内外大型惯性约束核聚变 (inertial confinement fusion, ICF) 激光器的运行中, 3 倍频系统的稳定输出能力是激光器的关键单元技术之一, 高效、稳定的 3 倍频 (third-harmonic generation, THG) 不仅是物理实验对 3 倍频转换系统的需求, 而且还是多路功率平衡的根本要求^[1-2]。所以, 如何进行高效、稳定的 3 倍频一直是各国科学家追求的目标。

在 ICF 激光器的三倍频研究中, 一些研究小组做了大量的工作, 但这些工作多是从相位失配的角度出发来研究基频光空间特性 (光强, 位相) 对 3 倍频过程的影响^[3-7]。本文中主要是研究基频光 (fundamental harmonic, FH) 脉冲波形对 3 倍频转换效率的影响, 对高斯脉冲和平顶脉冲的不同谐波转换特点作了详细分析。研究结果表明, 应根据不同的脉冲形状合理地控制 2 倍频 (second-harmonic generation, SHG) 的转换效率, 才能取得最佳的 3 倍频输出效率。

1 3 倍频理论模型^[8-10]

以 I / II 类角度失谐的 3 倍频方案为例, 它包括一个 I 类匹配的 2 倍频过程和一个 II 类匹配的和频过程。描述倍频与和频过程的耦合波方程组为:

$$\frac{\partial^2 A_1}{\partial x^2} + \frac{\partial^2 A_1}{\partial y^2} + 2n_1 \frac{\omega_1}{c} \left[\frac{\partial A_1}{\partial z} + \beta(\theta) \frac{\partial A_1}{\partial y} + a_1 \frac{\partial A_1}{\partial t} \right] =$$

基金项目: 高温高密度等离子体物理国防科技重点实验室基金资助项目 (9140C6803010802)

作者简介: 韩伟 (1982), 男, 研究实习员, 从事非线性光学和激光技术研究。

E-mail: tonyhan2000@163.com

收稿日期: 2007-04-29 收到修改稿日期: 2007-07-04

$$\begin{aligned}
 & -\frac{\omega_1^2}{c^2} \bar{A}_2^* A_3 \exp(i\Delta kz) - i \frac{n_1 \omega_1}{c} \alpha_1 A_1, \\
 \frac{\partial^2 A_2}{\partial x^2} + \frac{\partial^2 A_2}{\partial y^2} + 2n_2 \frac{\omega_2}{c} \left[\frac{\partial A_2}{\partial z} + \beta_2(\theta) \frac{\partial A_2}{\partial y} + a_2 \frac{\partial A_2}{\partial t} \right] = \\
 & -\frac{\omega_2^2}{c^2} \bar{A}_1^* A_3 \exp(i\Delta kz) - i \frac{n_2 \omega_2}{c} \alpha_2 A_2, \\
 \frac{\partial^2 A_3}{\partial x^2} + \frac{\partial^2 A_3}{\partial y^2} + 2n_3 \frac{\omega_3}{c} \left[\frac{\partial A_3}{\partial z} + \beta_3(\theta) \frac{\partial A_3}{\partial y} + a_3 \frac{\partial A_3}{\partial t} \right] = \\
 & -\frac{\omega_3^2}{c^2} \bar{A}_1 A_2 \exp(-i\Delta kz) - i \frac{n_3 \omega_3}{c} \alpha_3 A_3 \quad (1)
 \end{aligned}$$

式中, $A_j (j=1, 2, 3)$ 为光场复振幅, n_j 为折射率, ω_j 为角频率, $\beta_j(\theta)$ 为 e 光的走离系数, $a_j = \frac{1}{v_g} - \frac{1}{v_{g1}}$, v_g 为群速度, $\alpha_i (i=1, 2, 3)$ 为吸收系数, ϵ_0 为自由空间介电常数, Δk 为位相失配量, c 为真空中的光速, \bar{x} 为有效非线性系数。倍频与和频晶体长度分别为 1mm 和 9mm。

2 计算结果及分析

在 3 倍频过程中, 理论上认为入射到和频晶体上的基频光和 2 倍频光的光子数之比为 1:1, 即 2 倍频转换效率为 66% 时, 3 倍频转换效率可以达到最高。但是, 计算表明当基频光脉冲不是平顶分布时, 66% 的 2 倍频转换效率并不能保证 3 倍频转换效率达到最大, 相反适当地降低 2 倍频转换效率反而可提高 3 倍频转换效率, 如图 1 所示。图 1 中实线和虚线分别为高斯脉冲和平顶脉冲的 3 倍频转换效率与 2 倍频转换效率的关系曲线, 基频光功率密度为 3GW/cm²。

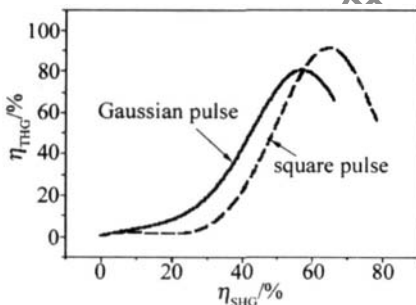


Fig 1 Third-harmonic conversion efficiency as a function of second-harmonic conversion efficiency

图 1 说明, 对于平顶脉冲而言, 最佳的 2 倍频转换效率为 66%, 但是对于高斯脉冲而言, 最佳的 2 倍频转换效率为 56.8%, 小于 66%。基频光为高斯脉冲时, 最佳的 2 倍频转换效率偏离 66%, 说明“和频晶体中基频光和 2 倍频光光子数之比为 1:1 时转换效率最高”是在一定条件下适用的。仅考虑 3 倍频过程中的和频过程, 假设入射基频光和 2 倍频光脉冲形状相同, 均为高斯脉冲, 计算转换效率与两入射脉冲能量比的关系, 如图 2 所示, 图中能量比例定义为 2 倍频光

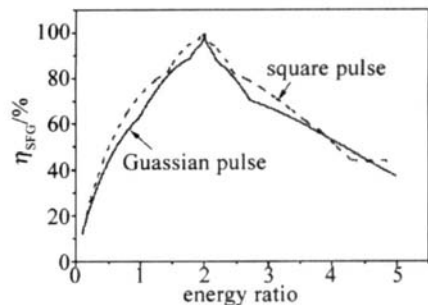


Fig 2 Sum-frequency conversion efficiency as a function of energy ratio between fundamental pulse and second harmonic pulse

能量与基频光能量的比例。

图 2 说明在和频过程中, 当 2 倍频光和基频光的脉冲形状相同时, 两者的能量之比为 2:1 时和频过程的转换效率最大。而图 1 指出当基频光为高斯脉冲时, 最佳的 2 倍频转换效率低于 66%, 这是因为当基频光为高斯脉冲, 倍频晶体输出的 2 倍频光和基频光的脉冲形状不相同, 如图 3 所示。图 3 分别是 2 倍频转换效率为 56.8% (见图 3a) 和 66% (见图 3b) 时和频晶体前基频光和 2 倍频光的脉冲形状。

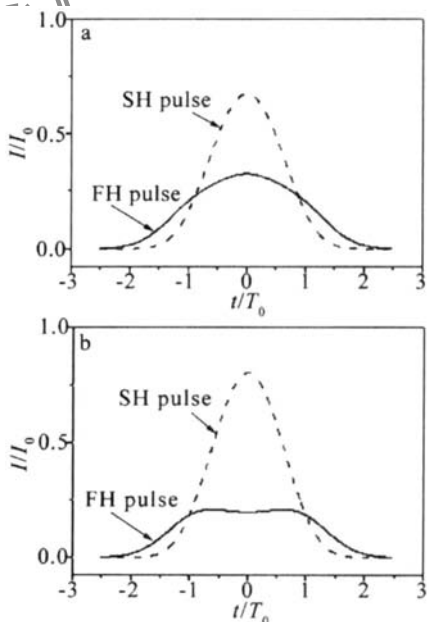


Fig 3 Pulse shape of fundamental and second-harmonic pulse under different SHG conversion efficiency

从图 3 可以看出, 2 倍频转换效率为 56.8% 时和频晶体前基频光和 2 倍频光的脉冲形状基本相似, 两者仍保留为高斯脉冲的形状, 但是当 2 倍频转换效率为 66% 时, 两者的脉冲形状相差很大, 2 倍频光为高斯脉冲, 而基频光的顶部变平。2 倍频转换效率为 66% 虽然能保证入射到和频晶体上的 2 倍频光和基频光的总能量比为 2:1, 但是对于和频过程而言, 欲使其转换效率最高, 要求脉冲的不同时刻 2 倍频光和基频光的光强之比为 2:1, 方能使基频光和 2 倍频光充分转换为 2 倍频光。从图 3 可以看出, 56.8% 的 2 倍频

转换效率时, 2倍频光和基频光在 $t=0$ 时刻两者的光强之比为 2:1, 而 2倍频转换效率为 66.7% 时, $t=0$ 时刻两者光强之比为 4:1, 这样在和频过程中, 2倍频光能量过剩, 将会导致逆转换的出现, 引起转换效率的降低, 如图 4 所示。图 4 分别是 2倍频转换效率为 56.8% (见图 4a) 和 66.7% (见图 4b) 时 3 倍频输出的基频光、2倍频光和 3 倍频光的脉冲形状。

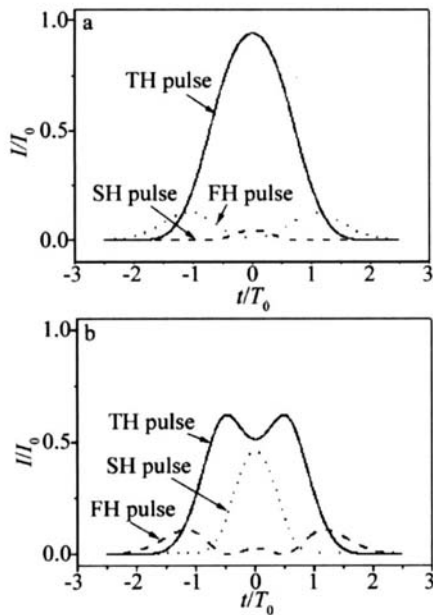


Fig. 4 Pulse shape of fundamental, second-harmonic and third-harmonic pulses under different SHG conversion efficiency

因此, 在 3 倍频过程中, 欲使 3 倍频转换效率最高, 应使和频晶体前 2 倍频光和基频光脉冲不同时刻的光强之比为 2:1, 而不是使两者的总体能量之比为 2:1。当基频光脉冲不是理想的平顶分布时, 应适当地降低 2 倍频转换效率, 保证脉冲功率密度较高的部位 (如 $t=0$ 时刻) 2 倍频光和基频光的光强之比为 2:1。

基频光的脉冲波形不同, 其最佳的 2 倍频转换效率也不同, 如图 5 所示。图 5 表示不同功率密度下, 最

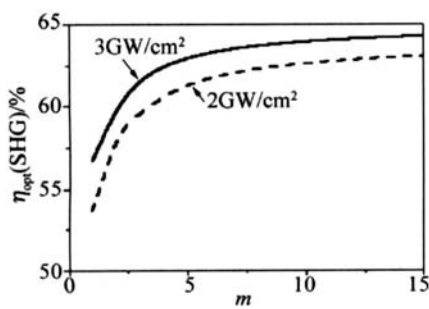


Fig. 5 The dependence of optimal SHG conversion efficiency on pulse shape

佳 2 倍频转换效率与超高斯脉冲阶数的关系, $m=1$ 为高斯脉冲, m 越大脉冲形状越趋于平顶形状, 从图 5 可以看出, 脉冲形状越趋于平顶分布, 最佳的转换效率越接近 66.7%, 而超高斯脉冲的阶数越低时, 其最佳的 2

倍频转换效率越小。

不仅基频光脉冲形状会影响最佳的 2 倍频转换效率, 而且走离效应和基频光的空间分布也会影响最佳的 2 倍频转换效率, 如图 6 所示。当基频光时间和空

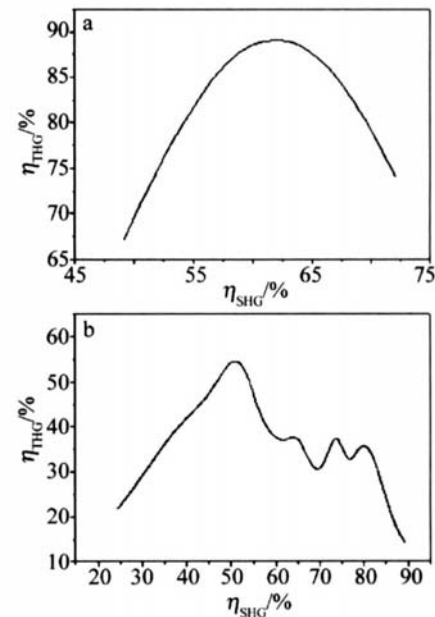


Fig. 6 a—the dependence of THG efficiency on SHG efficiency including walk-off effect of fundamental harmonic beams b—the dependence of THG efficiency on SHG efficiency including spatial distribution of fundamental harmonic beams

间均为平顶分布时, 空间走离效应会导致最佳的 2 倍频转换效率偏离 66.7%, 如图 6a 所示, 其中 2 倍频转换效率为 62% 时 3 倍频转换效率最高, 小于 66.7%, 这是因为倍频晶体出射的基频光和倍频光空间上不完全重合。这种空间效应对最佳 2 倍频转换效率的影响在基频光空间为高斯分布时更为明显, 如图 6b 所示, 其中基频光时间为平顶分布, 空间是高斯分布, 此时最佳的 2 倍频转换效率为 51%, 严重地偏离了理想情况下的最佳 2 倍频转换效率 66.7%, 其原因与脉冲形状对最佳 2 倍频转换效率的影响相同。

3 结 论

在激光装置的实际运行中, 基频光的脉冲波形会偏离平顶脉冲式的形状, 这给高效稳定的 3 倍频带来难度, 本文中分析了基频光脉冲形状对 3 倍频转换效率的影响。计算结果指出当基频光脉冲形状偏离理想的平顶脉冲分布时, 适当降低 2 倍频转换效率可以提高 3 倍频转换效率, 并给出了不同功率密度下, 最佳 2 倍频转换效率与超高斯脉冲阶数的关系。进一步地研究了空间走离效应和基频光空间分布对最佳 2 倍频转换效率的影响, 研究表明, 走离效应和基频光空间为非理想的平顶分布两者都会导致最佳的 2 倍频转换效率

(下转第 557 页)

时, 切割前沿温度迅速升高。这是因为当气压较低时, 气体流量低, 发生放热反应帮助切割的热量较少, 温度升高缓慢。此时, 在激光功率和速度不变的情况下, 热影响区较小, 缝宽较小, 切割质量较好。反之, 当气压过高时, 发生放热反应帮助切割的热量较多, 温度迅速上升。在其它参数不变的情况下, 输入到工件的有效能量大大增加, 引起切割点“烧蚀”, 大大降低了切割质量。

4 结 论

对中厚钢板小圆孔的高功率 CO₂ 激光切割工艺进行了试验研究, 得到了较好的切割质量及优化工艺参数。当激光功率为 1kW、速度为 1.2m/m in 氧气压力为 1.2×10^5 Pa 离焦量为 -1mm 时, 切割线能量为 57kJ/m, 在 6mm 厚的 A3 钢板上切割 Ø5mm 小孔可以获得最佳的切割效果。在激光切割面板或模板上(中厚板)的深径比不大于 2 的小孔时, 采用小功率、慢速度和低气压的工艺参数可以避免切割点附近局部温度过高, 获得最佳的切割效果。

参 考 文 献

- [1] LIU D H. Laser cutting [J]. Laser Journal, 1992, 13(4): 207-213 (in Chinese).
- [2] LIX Y, ZENG X Y, HUANG W L. Status and prospect of precision laser

(上接第 473 页)

偏离 66.7%, 特别是后者的影响更大。本文中的结论在激光器的实际运行中可以用来指导倍频系统的调试, 即根据基频光的脉冲形状来适当地调整 2 倍频晶体的失谐角度以便控制 2 倍频转换效率, 从而提高 3 倍频转换效率。

参 考 文 献

- [1] WEGNER P J, AUERBACH JM, BARKER C E. Frequency converter development of national ignition facility [J]. Proc SPIE, 1998, 3492: 392-405.
- [2] WEGNER P J, HENESIAN M A, SPECK D R. Harmonic conversion of large-aperture 1.05 μm laser beams for inertial confinement fusion research [J]. Appl Opt, 1992, 31(30): 6414-6426.
- [3] ZHANG B, LI Q, CAIB W. Influence of high-power third harmonic conversion on laser beam quality [J]. Acta Photonica Sinica, 2004, 33(5): 553-556 (in Chinese).
- [4] HE Y J, CAIB W, WEIX F. Effect of phase ripples on the third harmonic generation [J]. Chinese Journal of Lasers, 2001, A28(9): 789-

ser machining [J]. Laser Journal, 2000, 21(5): 1-3 (in Chinese).

- [3] YANG Y M. Applications of precision machining with Nd: YAG laser [J]. Lasers and Infrared, 1997, 27(6): 333-337 (in Chinese).
- [4] LIX Y, ZENG X Y, LU Y. Study of YAG Laser cutting process with stainless steel sheet [J]. Chinese Journal of Lasers, 2001, A28(12): 1125-1129 (in Chinese).
- [5] LI Y Sh. Study on laser deep hole drilling [J]. Laser Technology, 1998, 22(2): 36-40 (in Chinese).
- [6] RAJARAM N, SHEIKH-AHMAD J, CERAGHISHI S H. CO₂ laser cut quality of 4130 steel [J]. International Journal of Machine Tools and Manufacture, 2003, 43(4): 351-358.
- [7] ZHENG Q G. Laser advanced manufacture [M]. Wuhan Huazhong University of Science and Technology Press, 2002: 25-27 (in Chinese).
- [8] LIANG Y R. Study of correlation between material surface temperature and laser average power and cutting speed [J]. Aviation Precision Manufacturing Technology, 1996, 32(6): 17-19 (in Chinese).
- [9] CHEN S L, STEENW M. The theoretical investigation of gas assisted laser cutting [C] // ICALEO. San Jose USA: Laser Institute of America, 1991: 221-227.
- [10] KAEBERNICK H, JEROM N A, MATHEW P. Adaptive control for laser cutting using striation frequency analysis [J]. CIRP Annals Manufacturing Technology, 1998, 47(1): 137-139.
- [11] CHENG H, NEIL W O. The effects of power rippling on CO₂ laser cutting [J]. Opt & Laser Technol, 1997, 29(3): 125-134.
- [12] NEIL W O, STEEN W M. A three dimensional analysis of gas environment operating during the laser cutting process [J]. J Phys, 1995, D28(1): 12-18.

792 (in Chinese).

- [5] LI Q, ZHANG B, CAIB W, et al. Effects of amplitude modulation and phase perturbation on the optimizing parameters of third harmonic generation [J]. High Power Laser and Particle Beams, 2003, 15(1): 73-76 (in Chinese).
- [6] HOU J, ZHANG Y D, JIANG W H. Phase distortion of second-harmonic generation with phase aberrated beam [J]. Acta Photonica Sinica, 2002, 22(4): 402-406 (in Chinese).
- [7] HOU J, LING N. Third harmonic conversion of aberrated laser beam [J]. Chinese Journal of Laser, 2002, 29(6): 525-529 (in Chinese).
- [8] MILONNI PW, AUERBACH JM, EMERL D. Frequency conversion modeling with spatially and temporally varying beams [J]. Proc SPIE, 1997, 2622: 230-241.
- [9] MA Ch, HE Y J, WEIX F, et al. Two-dimensional numerical simulation study on high power high efficiency tripling harmonic [J]. High Power Laser and Particle Beams, 2000, 12(s1): 131-136 (in Chinese).
- [10] LI K, ZHANG B. Inverse problem of monochromatic third harmonic generation [J]. Laser Technology, 2006, 30(2): 186-188 (in Chinese).